

V46

Der Faraday-Effekt

Fritz Agildere
fritz.agildere@udo.edu

Amelie Strathmann
amelie.strathmann@udo.edu

Durchführung: 15. April 2024
Abgabe:

TU Dortmund – Fakultät Physik

Inhaltsverzeichnis

1	Zielsetzung	2
2	Theorie	2
2.1	Bandstruktur	2
2.2	Dotierung	2
2.3	Faraday-Effekt	2
3	Aufbau	9
4	Durchführung	10
5	Auswertung	10
5.1	Magnetfeld	10
5.2	Faraday-Rotation.....	10
5.2.1	Dotierte Proben	10
5.2.2	Reine Probe	10
5.3	Effektive Masse	10
6	Diskussion	10
	Literatur	10
	Anhang	11

1 Zielsetzung

Im diesem Versuch soll die Faraday-Rotation ausgenutzt werden, um die effektive Masse der Leitungselektronen in negativ dotiertem Galliumarsenid (n-GaAs) zu bestimmen.

2 Theorie [1]

2.1 Bandstruktur

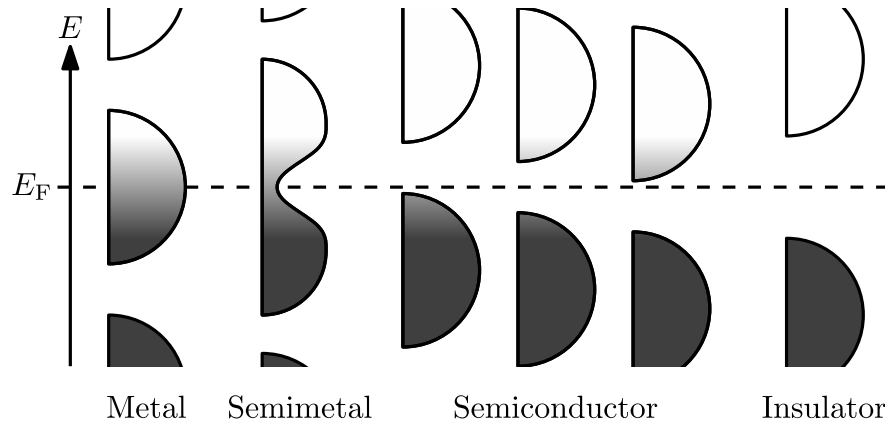


Abbildung 1: Energieschemata verschiedener Materialklassen im Vergleich. [3]

2.2 Dotierung

2.3 Faraday-Effekt

$$\mathbf{E}(z) = \frac{1}{2} (\mathbf{E}_R(z) + \mathbf{E}_L(z)) \quad (1)$$

$$\mathbf{E}_R(z) = E_0 (\hat{\mathbf{x}} - i\hat{\mathbf{y}}) e^{ik_R z} \quad (2)$$

$$\mathbf{E}_L(z) = E_0 (\hat{\mathbf{x}} + i\hat{\mathbf{y}}) e^{ik_L z} \quad (3)$$

$$\mathbf{E}(0) = E_0 \hat{\mathbf{x}} \quad (4)$$

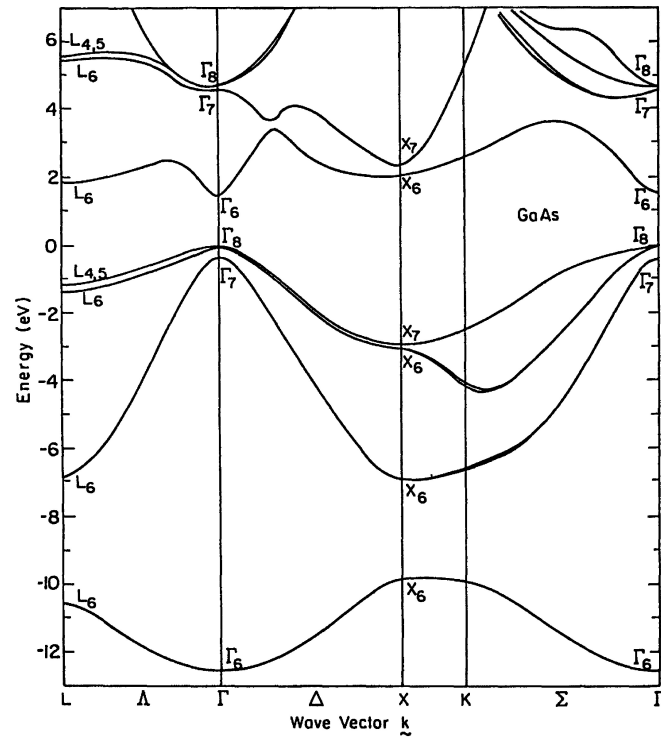


Abbildung 2: Berechnete Bandstruktur von GaAs um die Bandlücke. [2]

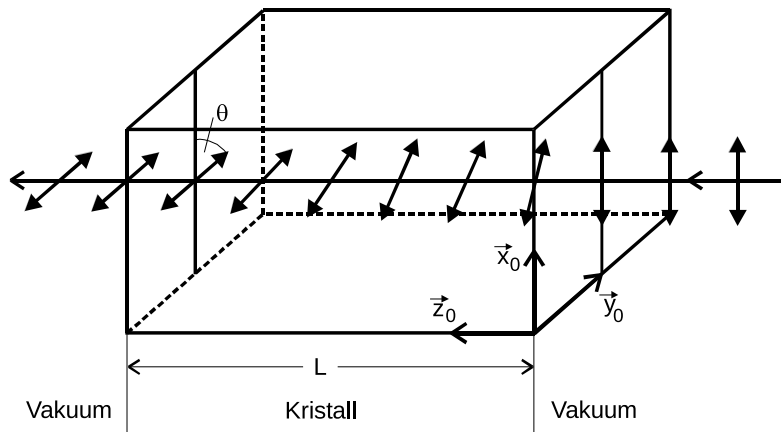


Abbildung 3: Drehung der Polarisationssebene einer Lichtwelle beim Durchgang durch einen Kristall. [1]

$$\mathbf{E}(L) = \frac{1}{2}E_0 \left((e^{ik_R L} + e^{ik_L L}) \hat{\mathbf{x}} + (e^{ik_R L} - e^{ik_L L}) \hat{\mathbf{y}} \right) \quad (5)$$

$$\psi \equiv \frac{L}{2}(k_R + k_L) \quad (6)$$

$$\theta \equiv \frac{L}{2}(k_R - k_L) \quad (7)$$

$$\mathbf{E}(L) = \frac{1}{2}E_0 \left((e^{i\psi} e^{i\theta} + e^{i\psi} e^{-i\theta}) \hat{\mathbf{x}} + (e^{i\psi} e^{i\theta} - e^{i\psi} e^{-i\theta}) \hat{\mathbf{y}} \right) \quad (8)$$

$$\mathbf{E}(L) = E_0 e^{i\psi} (\cos \theta \hat{\mathbf{x}} + \sin \theta \hat{\mathbf{y}}) \quad (9)$$

$$v = \frac{\omega}{k} \quad (10)$$

$$n = \frac{c}{v} = \frac{ck}{\omega} \quad (11)$$

$$\theta = \frac{L\omega}{2c}(n_R - n_L) \quad (12)$$

$$\chi = \begin{pmatrix} \chi_{xx} & 0 & 0 \\ 0 & \chi_{yy} & 0 \\ 0 & 0 & \chi_{zz} \end{pmatrix} \quad (13)$$

$$\chi = \begin{pmatrix} \chi_{xx} & i\chi_{xy} & 0 \\ -i\chi_{xy} & \chi_{xx} & 0 \\ 0 & 0 & \chi_{zz} \end{pmatrix} \quad (14)$$

$$\mathbf{D} = \varepsilon_0 \mathbf{E} + \mathbf{P} \approx \varepsilon_0 (1 + \chi) \mathbf{E} \quad (15)$$

$$\nabla \times (\nabla \times \mathbf{E}) = -\nabla \times \frac{\partial \mathbf{B}}{\partial t} = -\mu_0 \frac{\partial}{\partial t} \nabla \times \mathbf{H} = -\mu_0 \frac{\partial}{\partial t} \left(\mathbf{j} + \frac{\partial \mathbf{D}}{\partial t} \right) \quad (16)$$

$$\nabla \times (\nabla \times \mathbf{E}) \approx -\mu_0 \frac{\partial^2 \mathbf{D}}{\partial t^2} \approx -\varepsilon_0 \mu_0 (1 + \chi) \frac{\partial^2 \mathbf{E}}{\partial t^2} = -\frac{1}{c^2} (1 + \chi) \frac{\partial^2 \mathbf{E}}{\partial t^2} \quad (17)$$

$$\mathbf{E} = \mathbf{E}_0 e^{i(\mathbf{k}\mathbf{r} - \omega t)} \quad (18)$$

$$\mathbf{k} \times (\mathbf{k} \times \mathbf{E}) = -\frac{\omega^2}{c^2} (1 + \chi) \mathbf{E} \quad (19)$$

$$\mathbf{k} = k \hat{\mathbf{z}} \quad (20)$$

$$\mathbf{E} = E_x \hat{\mathbf{x}} + E_y \hat{\mathbf{y}} + E_z \hat{\mathbf{z}} \quad (21)$$

$$\mathbf{k} \times (\mathbf{k} \times \mathbf{E}) = -k^2 (E_x \hat{\mathbf{x}} + E_y \hat{\mathbf{y}}) \quad (22)$$

$$\chi \mathbf{E} = (\chi_{xx} E_x + i\chi_{xy} E_y) \hat{\mathbf{x}} + (\chi_{xx} E_y - i\chi_{xy} E_x) \hat{\mathbf{y}} + \chi_{zz} E_z \hat{\mathbf{z}} \quad (23)$$

$$\frac{\omega^2}{c^2} (1 + \chi_{zz}) E_z = 0 \quad (24)$$

$$E_z = 0 \quad (25)$$

$$\mathbf{C} \begin{pmatrix} E_x \\ E_y \end{pmatrix} = \begin{pmatrix} \frac{\omega^2}{c^2} (1 + \chi_{xx}) - k^2 & i\frac{\omega^2}{c^2} \chi_{xy} \\ i\frac{\omega^2}{c^2} \chi_{xy} & -\frac{\omega^2}{c^2} (1 + \chi_{xx}) + k^2 \end{pmatrix} \begin{pmatrix} E_x \\ E_y \end{pmatrix} = \begin{pmatrix} 0 \\ 0 \end{pmatrix} \quad (26)$$

$$0 = -\det \mathbf{C} = \left(\frac{\omega^2}{c^2} (1 + \chi_{xx}) - k^2 \right)^2 + i^2 \frac{\omega^4}{c^4} \chi_{xy}^2 \quad (27)$$

$$k_{\pm} = \frac{\omega}{c} \sqrt{1 + \chi_{xx} \pm \chi_{xy}} \quad (28)$$

$$v_L^R = \frac{c}{\sqrt{1 + \chi_{xx} \pm \chi_{xy}}} \quad (29)$$

$$v = \frac{c}{\sqrt{1 + \chi_{xx}}} \quad (30)$$

$$E_{x_L}^R = \pm i E_y \quad (31)$$

$$\theta = \frac{L}{2} (k_+ - k_-) = \frac{L\omega}{2c} \left(\sqrt{1 + \chi_{xx} + \chi_{xy}} - \sqrt{1 + \chi_{xx} - \chi_{xy}} \right) \quad (32)$$

$$\theta \approx \frac{L\omega}{2c\sqrt{1 + \chi_{xx}}} \chi_{xy} = \frac{L\omega v}{2c^2} \chi_{xy} = \frac{L\omega}{2cn} \chi_{xy} \quad (33)$$

$$m \frac{\partial^2 \mathbf{r}}{\partial t^2} + K \mathbf{r} = -e_0 \mathbf{E} - e_0 \frac{\partial \mathbf{r}}{\partial t} \times \mathbf{B} \quad (34)$$

$$\mathbf{E} \sim \mathbf{r} \sim e^{-i\omega t} \quad (35)$$

$$-m\omega^2 \mathbf{r} + K \mathbf{r} = -e_0 \mathbf{E} + ie_0 \omega \mathbf{r} \times \mathbf{B} \quad (36)$$

$$\mathbf{P} = -Ne\mathbf{r} \quad (37)$$

$$-m\omega^2 \mathbf{P} + K\mathbf{P} = Ne^2 \mathbf{E} + ie_0\omega \mathbf{P} \times \mathbf{B} \quad (38)$$

$$\mathbf{B} = B\hat{\mathbf{z}} \quad (39)$$

$$(K - m\omega^2)P_x = Ne_0^2 E_x + ie_0\omega P_y B \quad (40)$$

$$(K - m\omega^2)P_y = Ne_0^2 E_y - ie_0\omega P_x B \quad (41)$$

$$(K - m\omega^2)P_z = Ne_0^2 E_z \quad (42)$$

$$\varepsilon_0(K - m\omega^2)(\chi_{xx}E_x + i\chi_{xy}E_y) = Ne_0^2 E_x + i\varepsilon_0 e_0\omega(i\chi_{yx}E_x + \chi_{xx}E_y)B \quad (43)$$

$$\varepsilon_0(K - m\omega^2)\chi_{xx} = Ne_0^2 - \varepsilon_0 e_0\omega\chi_{yx}B \quad (44)$$

$$\varepsilon_0(K - m\omega^2)\chi_{xy} = \varepsilon_0 e_0\omega\chi_{xx}B \quad (45)$$

$$(46)$$

$$\varepsilon_0(K - m\omega^2)(i\chi_{yx}E_x + \chi_{xx}E_y) = Ne_0^2 E_y - i\varepsilon_0 e_0\omega(\chi_{xx}E_x + i\chi_{xy}E_y)B \quad (47)$$

$$\varepsilon_0(K - m\omega^2)\chi_{xx} = Ne_0^2 + \varepsilon_0 e_0\omega\chi_{xy}B \quad (48)$$

$$\varepsilon_0(K - m\omega^2)\chi_{yx} = -\varepsilon_0 e_0\omega\chi_{xx}B \quad (49)$$

$$\chi_{xy} = -\chi_{yx} \quad (50)$$

$$\chi_{xy} = \frac{Ne_0^3\omega B}{\varepsilon_0 \left((K - m\omega^2)^2 - (e_0\omega B)^2 \right)} \quad (51)$$

$$\theta \approx \frac{LN e_0^3 \omega^2 B}{2\varepsilon_0 c n \left((K - m\omega^2)^2 - (e_0 \omega B)^2 \right)} = \frac{LN e_0^3 \omega^2 B}{2\varepsilon_0 c m^2 \left(\left(\frac{K}{m} - \omega^2 \right)^2 - \frac{e_0^2 B^2}{m^2} \omega^2 \right)} \quad (52)$$

$$\omega_0 \equiv \sqrt{\frac{K}{m}} \quad (53)$$

$$\omega_C \equiv \frac{e_0 B}{m} \quad (54)$$

$$\theta \approx \frac{LN e_0^3 \omega^2 B}{2\varepsilon_0 c m^2 \left((\omega_0^2 - \omega^2)^2 - \omega_C^2 \omega^2 \right)} \quad (55)$$

$$\omega_0^2 - \omega^2 \gg \omega_C \omega \quad (56)$$

$$\theta \approx \frac{LN e_0^3 \omega^2 B}{2\varepsilon_0 c m^2 (\omega_0^2 - \omega^2)^2} \quad (57)$$

$$\omega = 2\pi\nu = 2\pi \frac{c}{\lambda} \quad (58)$$

$$\omega \ll \omega_0 \quad (59)$$

$$\theta \approx \frac{LN e_0^3 \omega^2 B}{2\varepsilon_0 c m^2 \omega_0^4} = \frac{2\pi^2 LN e_0^3 c B}{\varepsilon_0 m^2 \lambda^2 \omega_0^4} \quad (60)$$

$$\omega \gg \omega_0 \quad (61)$$

$$\theta \approx \frac{LN e_0^3 B}{2\varepsilon_0 c m^2 \omega^2} = \frac{LN e_0^3 \lambda^2 B}{8\pi^2 \varepsilon_0 c^3 m^2 n} \quad (62)$$

$$\frac{\theta}{L} \approx \frac{N e_0^3 B}{2\varepsilon_0 c m^2 \omega^2} = \frac{N e_0^3 \lambda^2 B}{8\pi^2 \varepsilon_0 c^3 m^2 n} \quad (63)$$

3 Aufbau

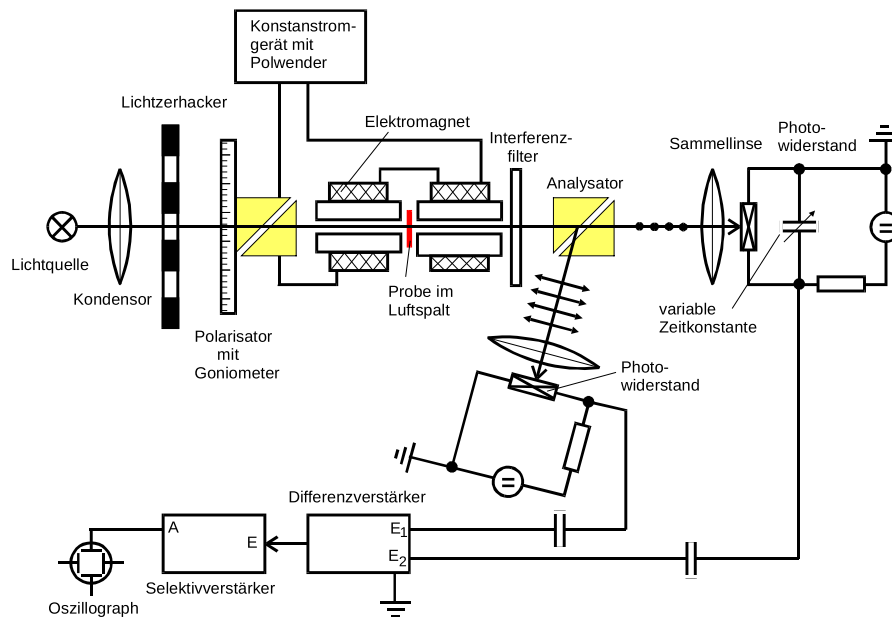


Abbildung 4: Schematische Darstellung der Messapparatur. [1]

4 Durchführung

5 Auswertung

5.1 Magnetfeld

5.2 Faraday-Rotation

5.2.1 Dotierte Proben

5.2.2 Reine Probe

5.3 Effektive Masse

6 Diskussion

Literatur

- [1] *Anleitung zu Versuch 46, Der Faraday-Effekt*. TU Dortmund, Fakultät Physik. 2024.
- [2] „Band Structure of Gallium Arsenide“. In: Marvin L. Cohen und James R. Chelikowsky. *Electronic Structure and Optical Properties of Semiconductors*. Springer Berlin, Heidelberg, 1988, S. 103. ISBN: 978-3-642-97080-1. DOI: <https://doi.org/10.1007/978-3-642-97080-1>.
- [3] *Valence and Conduction Bands*. 2013. URL: https://en.wikipedia.org/wiki/file:band_filling_diagram.svg.

Anhang